

# بنام خدا

## اثر افزایش تیتانیم و کاهش تقارن بلوری در خواص الکترونی ترکیب $Pb(Zr_{1-x}Ti_x)O_3$

باعدی. جواد، حسینی. سید محمد و کمپانی.  
احمد

گروه فیزیک دانشگاه فردوسی مشهد

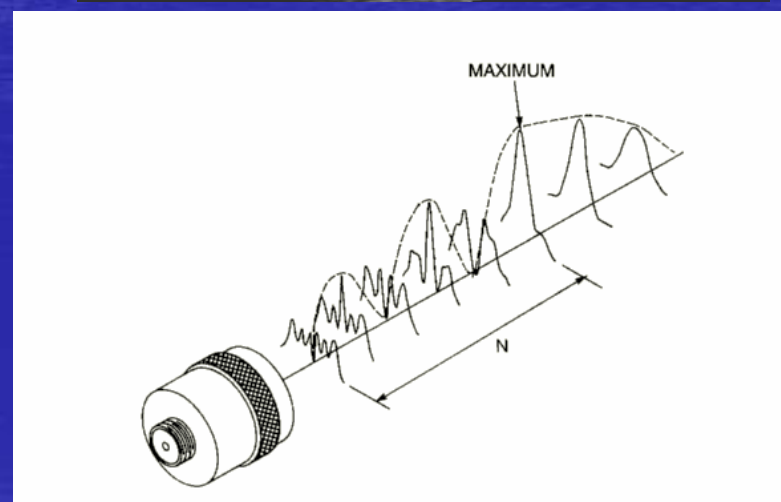
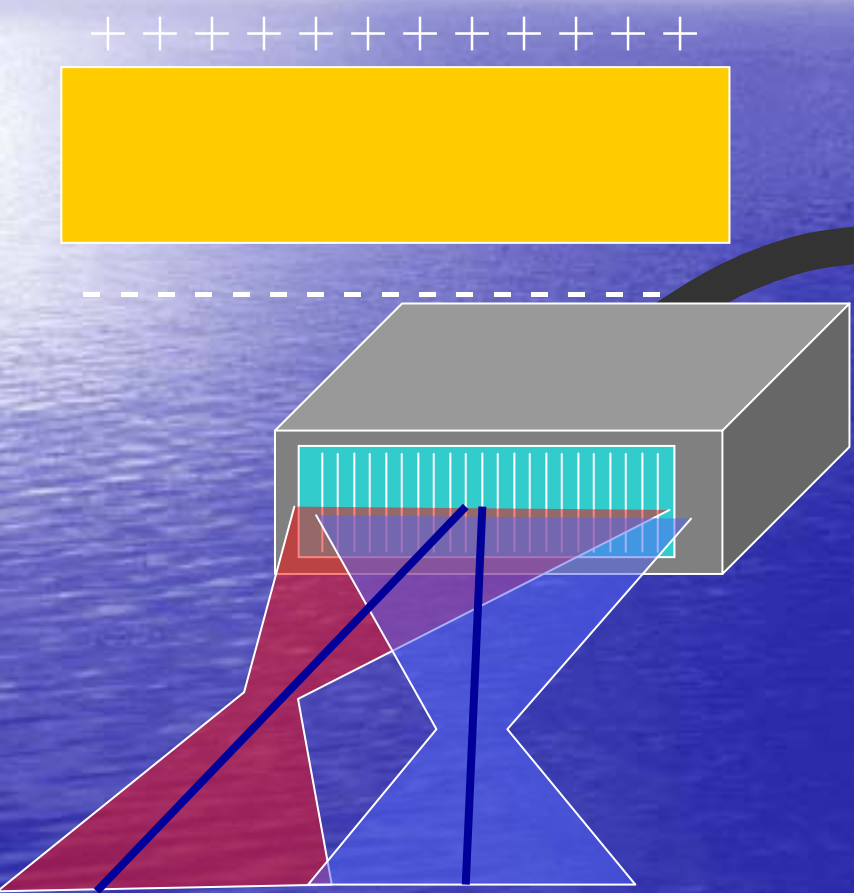
• مقدمه

• روش محاسبه

• ارائه نتایج

• نتیجه گیری

• مراجع



# ثابت دی الکتریک بعضی مواد

آب	٨١,١
سلیکن	١١,١
شیشه	٦,٩
هوا	١
پلی اتیلن	٢,٣
$\text{KNbO}_3$	٧٠٠
PZT	١٢٠٠

# مواد دی الکتریک شامل

- فرو الکتریک
- پیزو الکتریک
- پیرو الکتریک
- هر ترکیب دی الکتریک باید سه دارای ویژگی اساسی باشد
- دمای کوری بالا
- ثابت دی الکتریک زیاد
- گاف انرژی زیاد

# ساختارهای بلوری پرو سکایت

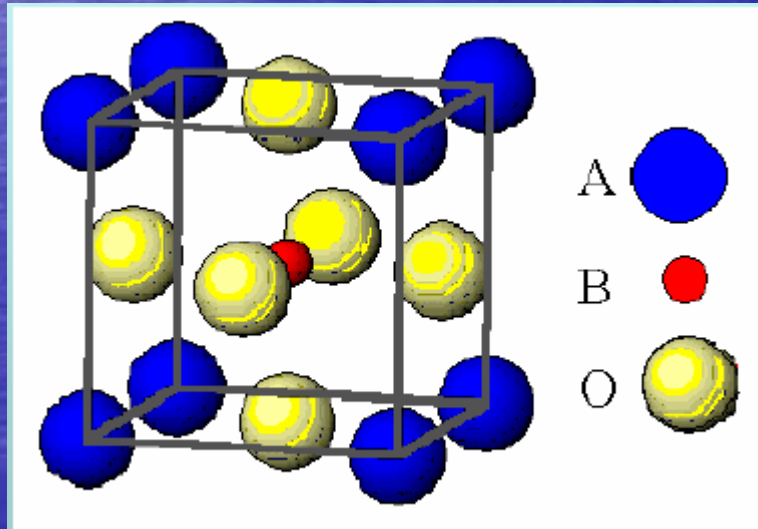
عموما با فرمول شیمیایی  $\text{ABO}_3$  متابلور می شود که A کاتیون و B آنیون است

A(0,0,0)

B(1/2,1/2,1/2)

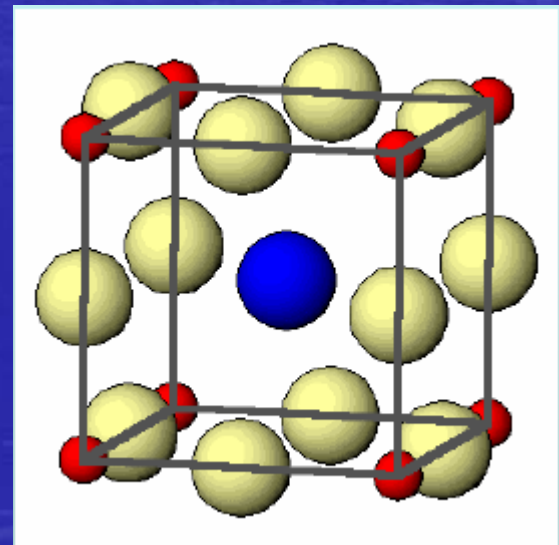
O(1/2,1/2, 0 ;1/2, 0,1/2 ; 0,1/2,1/2)

موقعیت اتم ها در فاز مکعبی بدین شکل است



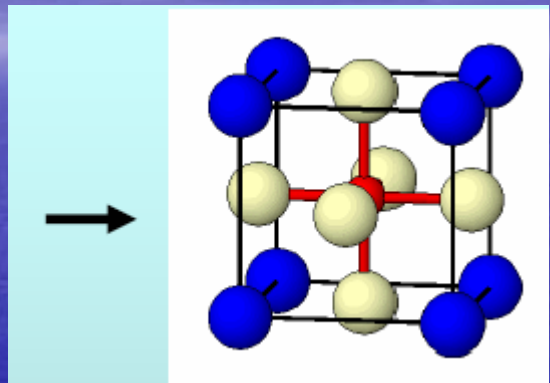
A  
B  
O

یا

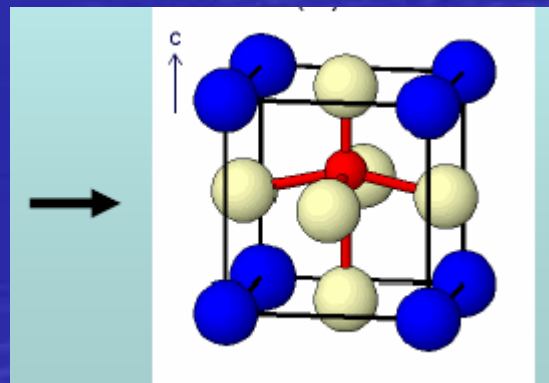


# فازهای پارا و فرو الکتریک

پروسکایت فروالکتریک در بالای دمای کوری پارا الکتریک و در فاز مکعبی است



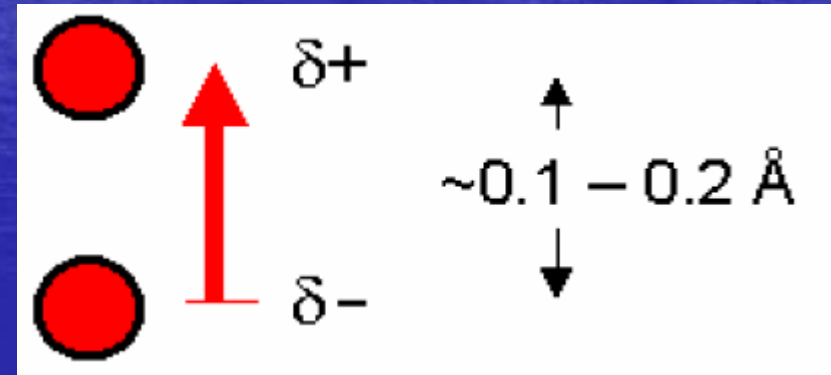
در پایین دمای کوری فرو لکتریک و در فاز بلوری غیر مکعبی است



پا یین دمای کوری هیچ گشتاور خالص الکتریک در  $\text{PbTiO}_3$  وجود ندارد

موقعیت تیتانیم در فاز تترا گونا ل

موقعیت تیانیم در فاز مکعبی



# روش محاسبات

(DFT)

- محاسبات در چارچوب نظریه تابعی چگالی دارد

density functional theory

- با استفاده از پتانسیل کامل امواج تخت تقویت شده خطی

full potential linearized augmented (FP-LAPW)  
plane wave

- با تقریب شیب گرایان تعمیم یافته

generalized gradient approximation

Wien2k

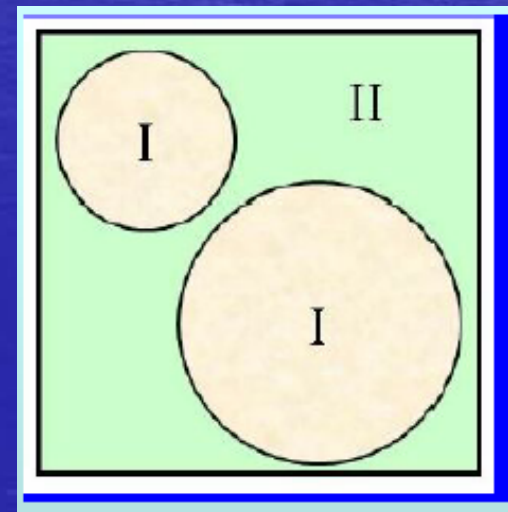
- با استفاده از کدهای

# روش پتانسیل کامل امواج تخت تقویت شده خطی **FP-LAPW**

- در روش امواج تخت تقویت شده خطی LAPW اور به دو قیست تقسیم می شود

ناحیه I: درون کره ها نزدیک به هسته با پتانسیل شبکه کروی

ناحیه II: ناحیه بین جایگاهی و پتانسیل با تغییرات آرام



• تابع موج در روش LAPW

$$\varphi_{\mathbf{k},j}(\mathbf{r}) = \sum_{\mathbf{G}} c_j(\mathbf{k} + \mathbf{G}) \phi_{\mathbf{k}+\mathbf{G}}^{\text{LAPW}}(\mathbf{r})$$

• با بسط توابع پایه براساس ترکیب خطی توابع شعاعی (هارمونیکهای کروی) و مشتقاتشان بر حسب انرژی  $U_l(r)Y_{lm}(r)$

$$\phi_{\mathbf{k}+\mathbf{G}}^{\text{LAPW}}(\mathbf{r}) = \begin{cases} \sum_{l,m}^{l_{\max}} \{ A_{l,m}(\mathbf{k} + \mathbf{G}) u_l(r, \epsilon_l) + B_{l,m}(\mathbf{k} + \mathbf{G}) \dot{u}_l(r, \epsilon_l) \} Y_{l,m}(\phi, \theta) & \mathbf{r} \in \text{I} \\ \frac{1}{\sqrt{V}} e^{(\mathbf{k} + \mathbf{G}) \mathbf{r}} & \mathbf{r} \in \text{II} \end{cases}$$

$$[-\frac{\hbar^2}{2m} \frac{d^2}{dr^2} + \frac{\hbar^2}{2m} \frac{l(l+1)}{r^2} + v(r) - \epsilon_l] r u_l(r, \epsilon_l) = 0$$

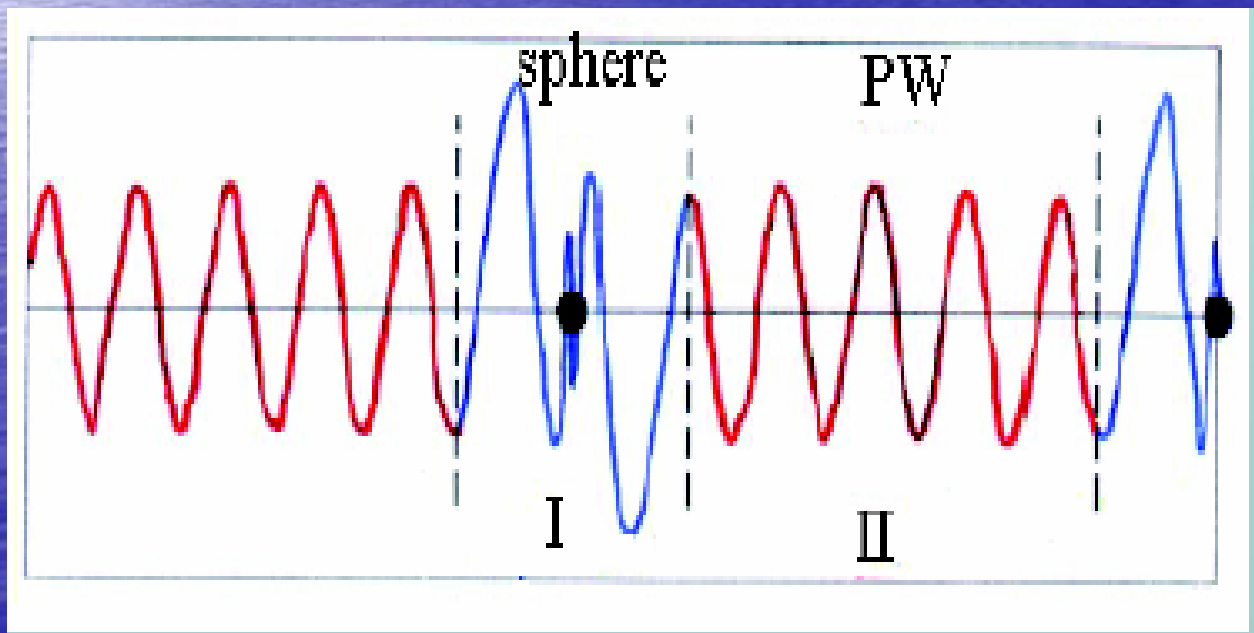
و

- که در آنها  $G$  بردار شبکه معکوس
- $K$  بردار در اولین منطقه بریلوئن
- $A_{l,m}, B_{l,m}$  ضرایب بسط که از شرط پیوسته بودن توابع موج روی سطح کره مافین تین بدست می‌اید
- از آنجا که پتانسیل و چگالی بار شبکه تابع موج در حواله هسته تغییرات زیادی دارد و در فواصل دور از هسته‌ها نسبتاً ارام است می‌توان انها را بر حسب تابع موج تخت و هارمونیک‌های کروی سط داد

Potentials     $V(\vec{r}) = \begin{cases} \sum_m V_m(r) Y_m(\hat{r}) \\ \sum_{\vec{k}} V_{\vec{k}} \exp(i \vec{k} \cdot \vec{r}) \end{cases}$

Densities     $\rho(\vec{r}) = \begin{cases} \sum_m \rho_m(r) Y_m(\hat{r}) \\ \sum_{\vec{k}} \rho_{\vec{k}} \exp(i \vec{k} \cdot \vec{r}) \end{cases}$

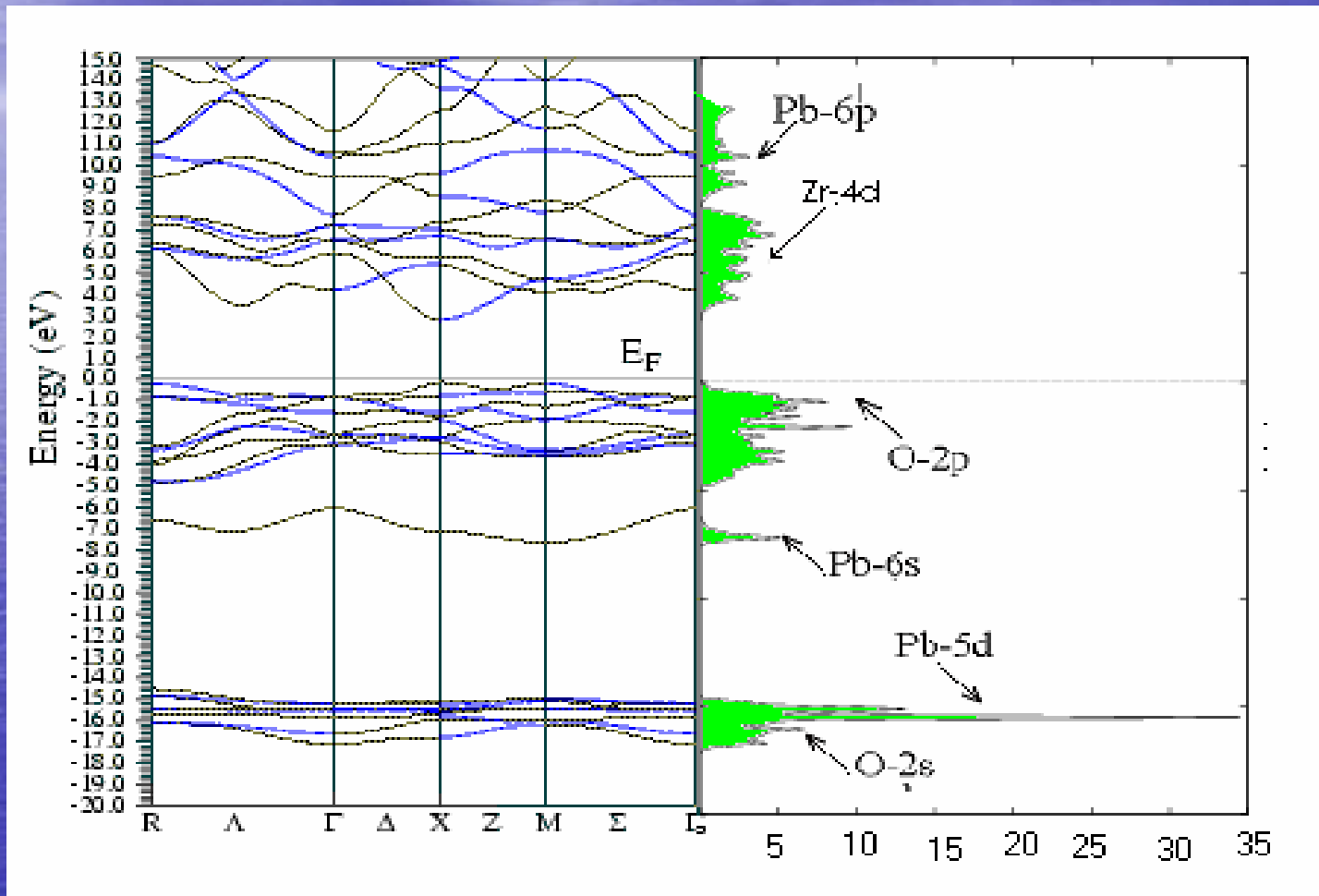
تابع موج پایه در ناحیه بین جایگاهی | بصورت موج تخت و در نزدیک هسته ها داخل کره های مافین تین بصورت || هارمونیکهای کروی اتم در نظر گرفته می شود.



# نتایج ترکیب PbZrO<sub>3</sub>

زیرکونات سرب دارای شبکه بلوری مربعی با ثابت شبکه  $a=4.088\text{\AA}$  و گروه فضایی  $\text{pm}3m$  و دارای ۳۲ تقارن بلوری است. در شکل ساختار نواری و چگالی انرژی محاسبه شده است که اندازه گاف انرژی مستقیم در نقطه  $X$   $Eg=3.16\text{eV}$  و یک گاف نواری غیر مستقیم بین بیشینه نوار ظرفیت در نقطه  $M$  و کمینه نوار هدایت در نقطه  $X$  مشاهده می شود. در چگالی حالتهای کلی  $\text{Pb}, \text{Zr}, \text{O}$  رسم شده است. سهم اربیتال  $\text{Pb}-5d$  زیر تراز فرمی در انرژی  $15\text{ eV}$ - قوی می باشد و اربیتال  $\text{Zr}-4d$  بالای سطح فرمی و اربیتال  $\text{O}-2p$  دقیقا در لبه زیر سطح فرمی دارای چگالی حالت هستند که این بخاطر هیبرید اسیون اربیتالهای فوق ناشی از پیوند کووالانس  $\text{Zr}-\text{O}$  می باشد.

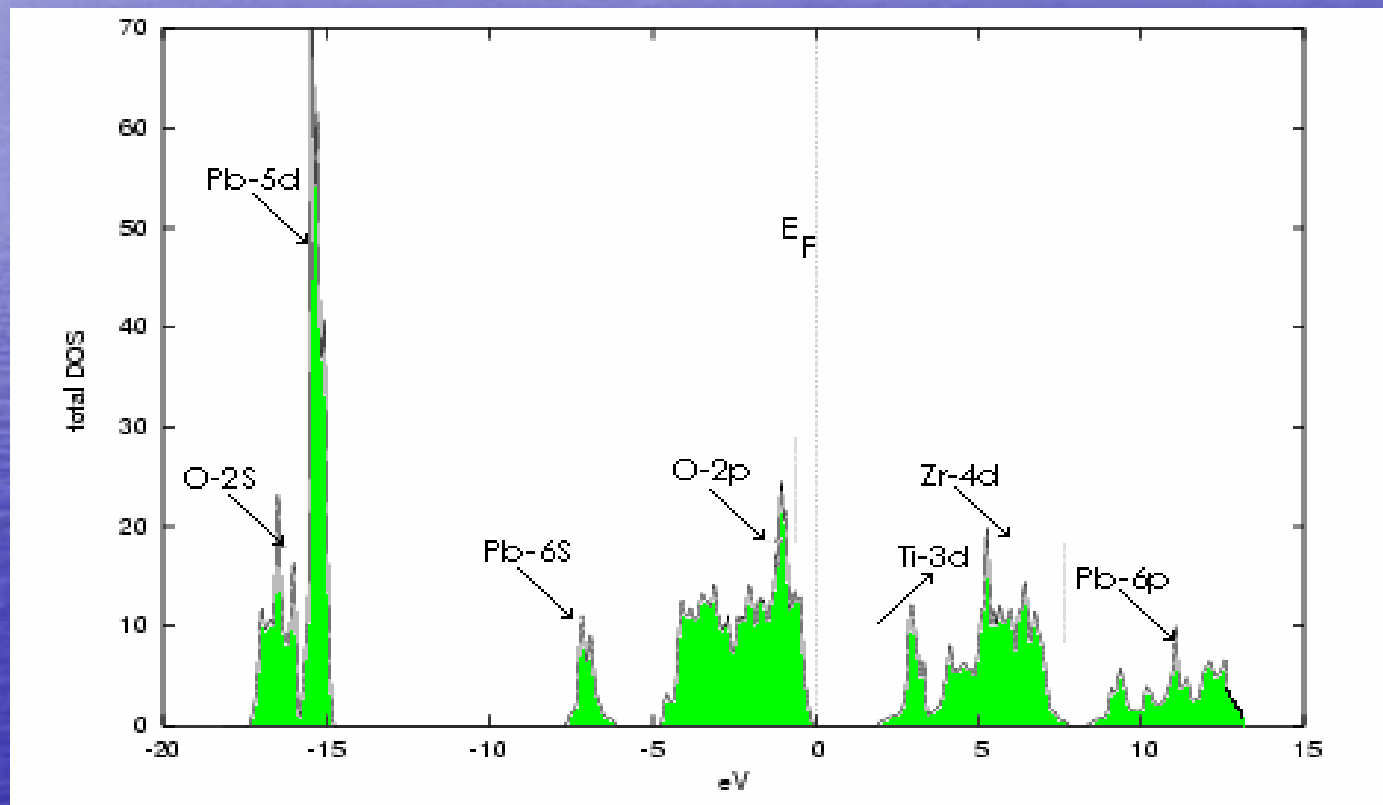
# PbZrO<sub>3</sub> چگالی حالتها و ساختار نوار ترکیب در فاز تراگونال با $E_g = 3.16 \text{ eV}$



# ترکیب $Pb(Zr_{0.66}Ti_{0.33})O_3$

- این ترکیب دارای شبکه تتراگونال و گروه فضای  $P4mm$  باثابت های
- شبکه  $a=4.046, b=A^\circ=c=4.136 A^\circ$  می باشد. تعداد اتمها
- در ابر شبکه ۱۵ اتم می باشد که به ازای هر دو اتم  $Zr$  یک اتم  $Ti$
- در راستای  $<001>$  جانشین اتم  $Zr$  می شود و تعداد تقارن های
- بلوری هشت تا می باشد. اندازه گاف غیر مسقیم  $Eg=1.94\text{ev}\Delta$
- است و بعلت حضور اربیتالهای  $Ti-3d$  کاهش پیدا می کند.

چگالی حالت‌های کلی در ترکیب  $\text{Pb}(\text{Zr}_{0.66}\text{Ti}_{0.33})\text{O}_3$   
در فاز تتراتراگونال با  $E_g = 1.94 \text{ eV}$



# ترکیب $Pb(Zr_{1-x}Ti_x)O_3$

داده های تجربی اخیر تغییر فاز شبکه بلوری این ترکیب را به ازای  $X=0.50$  تا  $X=45$  به منوکلینک باگروه  $Cm$  با تعداد دو تقارن بلوری گزارش کرده اند. ثابت های شبکه به ترتیب  $a=5.722\text{\AA}$ ,  $b=5.710\text{\AA}$ ,  $c=8.273\text{\AA}$

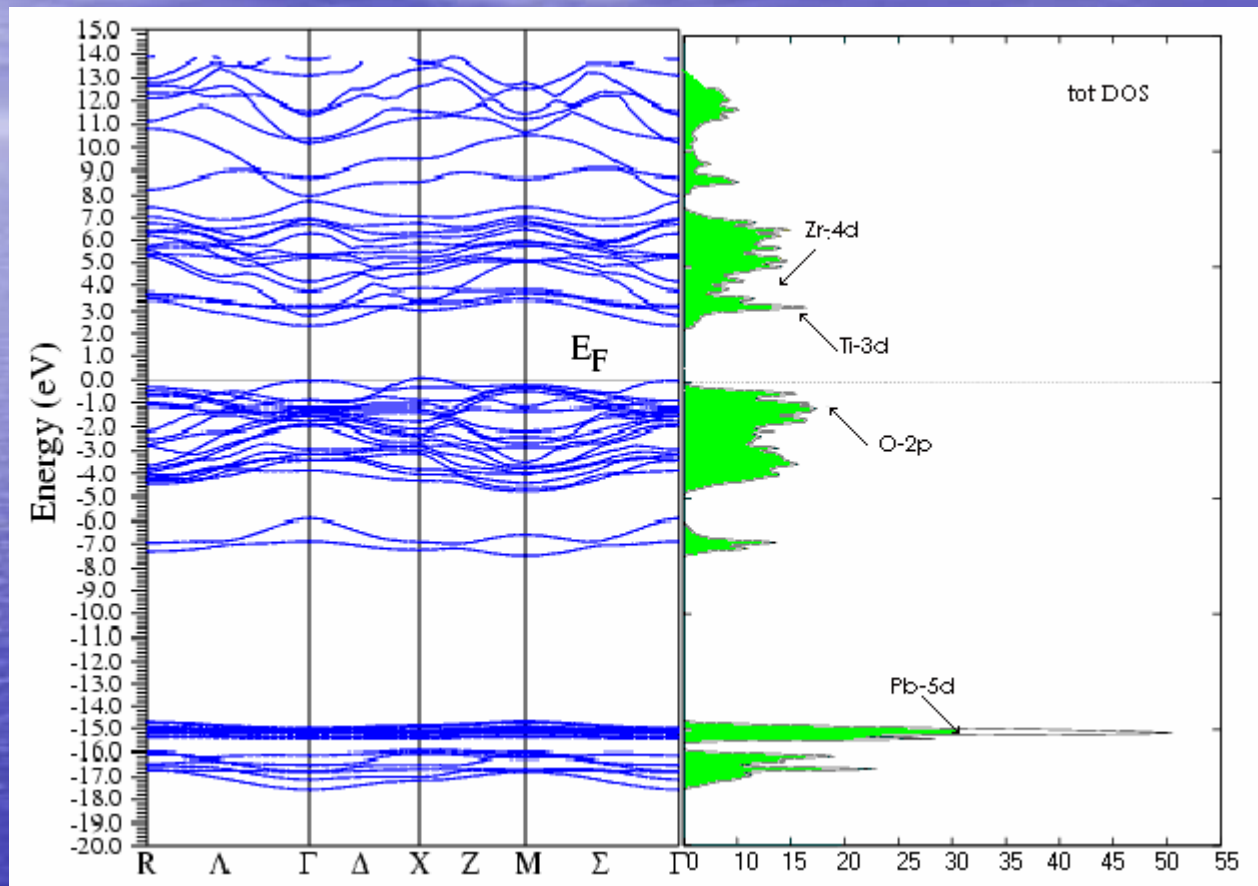
وزاویه بین بردار های اولیه به ترتیب  $\alpha = 90.50^\circ$ ,  $\beta = 90^\circ$ ,  $\gamma = 90^\circ$  اختیار شده است. بازی هر اتم  $Zr$  یک اتم  $Ti$

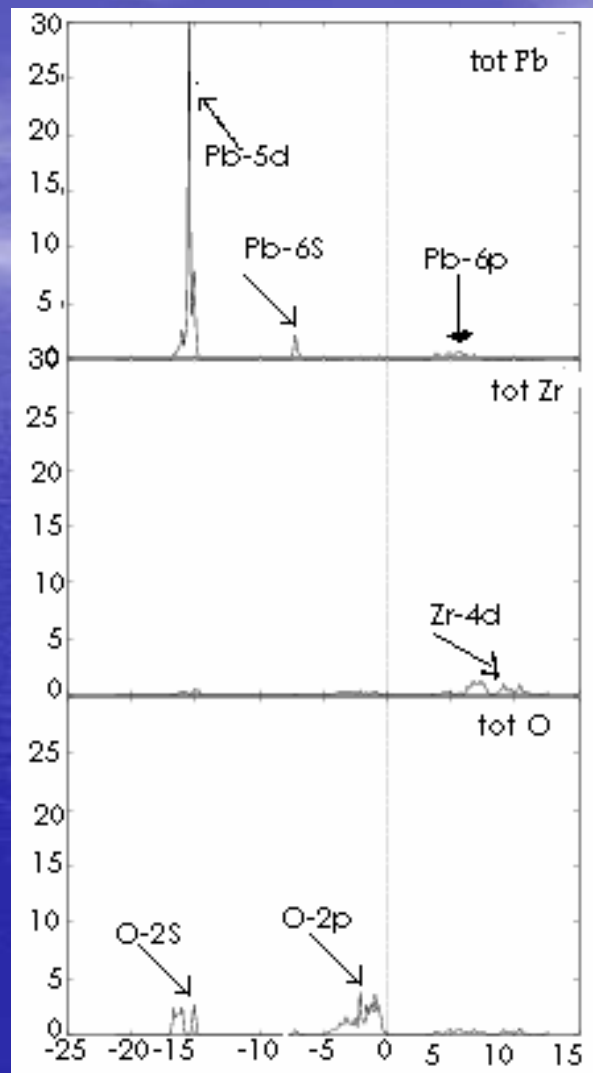
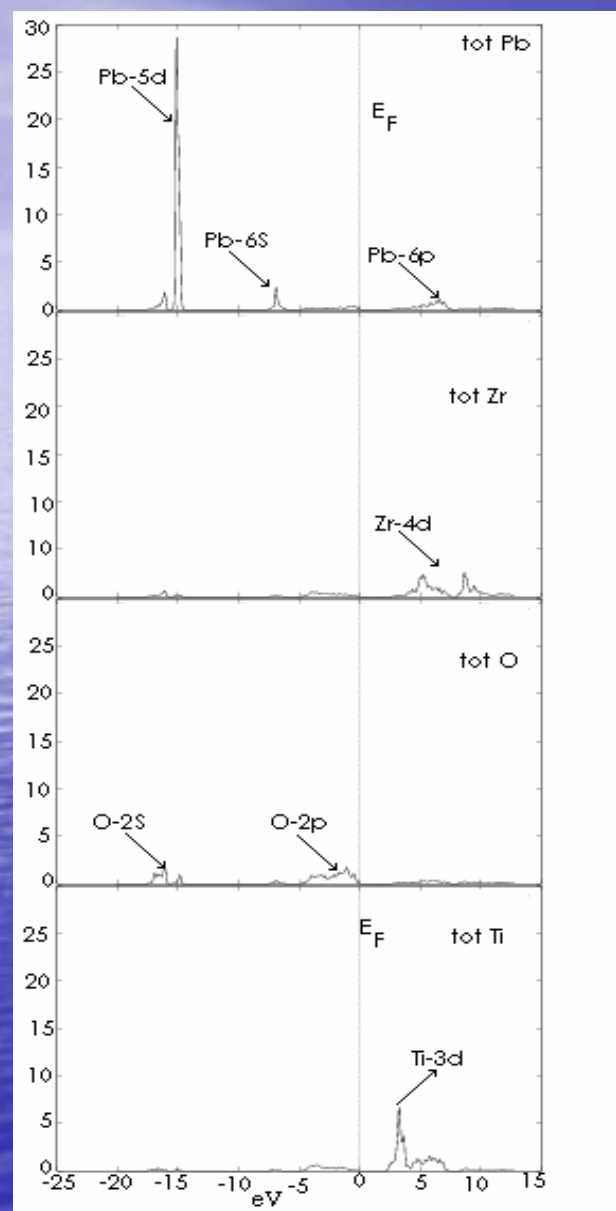
در راستای  $<001>$  جانشین شده است بدلیل این که اتم های کوچکتر می باشند، مکان اتم های  $Pb$ ,  $Ti$ ,  $Ti$  نسبت به ترکیب قبلی کمی تغییر می کند. برای این که داده های اولیه قابل اجرا در برنامه باشد، باید ساختار معادل رومبوهدرال

شبکه فوق را [۱۰] محاسبه کرد. شعاع کره ما فین تین بر اساس طول پیوند بترتیب  $RMT_{(Zr)}=1.84(\text{\AA})$ ,  $RMT_{(Ti)}=1.80(\text{\AA})$ ,  $RMT_{(O)}=1.6(\text{\AA})$ ,  $RMT_{(Pb)}=2.4(\text{\AA})$  اختیار شده است. چگاتی حالتها در نوارهای رسانش عمدتاً از اربیتالها و در نوارهای ظرفیت بالاریتا لهای  $Pb-6s$ ,  $Pb-5d$  و  $O-2p$  است. علی رغم اینکه انتظار می رفت با افزایش تعداد اتم های  $Ti$  گاف انرژی کا هش پیدا کند، اندازه ان افزایش، و به مقدار  $E_g=2.3\text{ eV}$  می رسد.

تأثیر کاهش تعداد تقارن ها، در افزایش گاف انرژی بیشتر از تاثیر افزایش تعداد همپوشانی اربیتالهای  $Ti-3d$  با  $O-2p$  در کاهش گاف انرژی می باشد.

ساختار نواری و چگالی حالت‌های کل ترکیب  $\text{Pb}(\text{Zr}_{0.5}\text{Ti}_{0.5})\text{O}_3$  در فاز  
منو کلینیک با  $E_g=2.31 \text{ eV}$

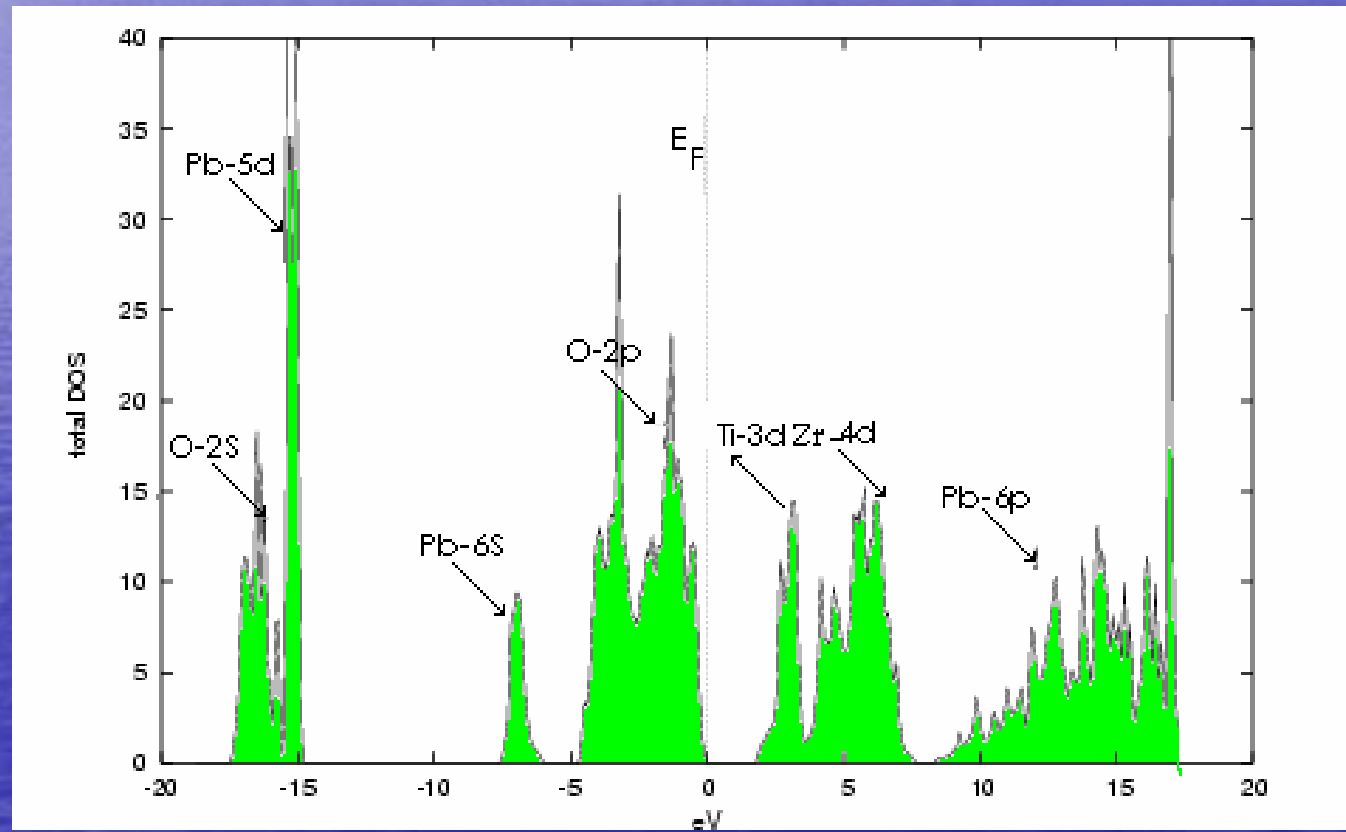




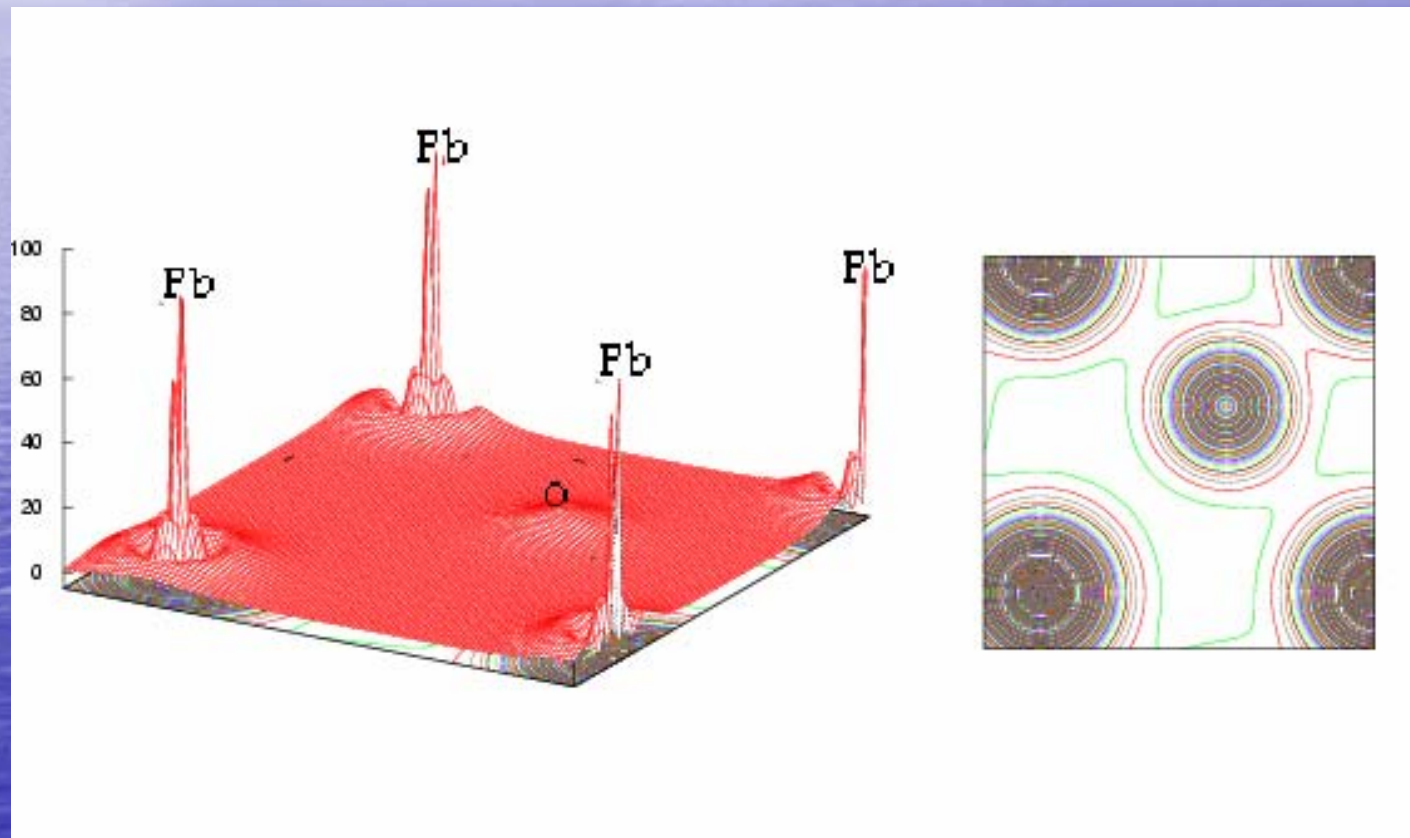
# ترکیب $Pb(Zr_{0.33}Ti_{0.66})O_3$

- این ترکیب دارای شبکه رومبودرال در گروه فضایی  $3m$  است.
- ابر شبکه آن شامل ۱۵ اتم که بازای هر اتم  $Zr$  دو اتم  $Ti$  در راستای  $<001>$  جانشین می شود. اندازه گاف انرژی به مقدار قابل ملاحظه ای کاهش پیدا می کند
- $\Delta E_g = 1.81\text{eV}$ . این را می توان بعلت افزایش تعداد اتم  $Ti$  های وهمچنین ناشی از افزایش تعداد تقارن های بلوری دانست

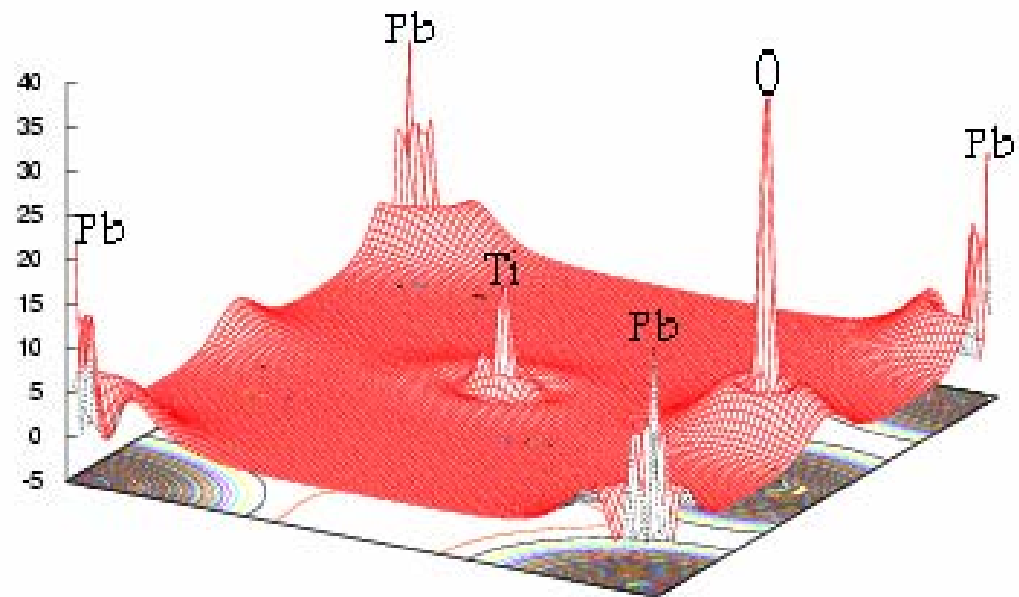
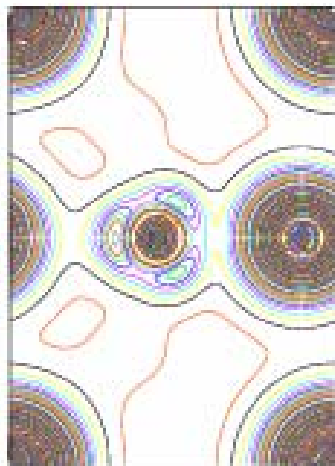
چگالی حالت‌های کلی در ترکیب  $\text{Pb}(\text{Zr}_{0.33}\text{Ti}_{0.66})\text{O}_3$   
در فاز رومبودرال با  $E_g = 1.81 \text{ eV}$



چگالی الکترون در سه و دو بعد در جهت  $<100>$



# چگالی الکترون در سه و دو بعد در جهت $<110>$



## نتیجه گیری

- در این پژوهش جزئیات ساختار الکترونی بلور  $Pb(Zr_{1-x}Ti_x)O_3$  با  $x=0, 0.33, 0.5, 0.66$  در فازهای مربعی تا منو کلینیک با استفاده از روش (LAPW-FP) در چارچوب نظریه تابعی چگالی با اعمال تقریب‌های GGA، بررسی شده است. نتایج حاصل از DOS و ساختار نواری نشان میدهد که با افزایش تعداد اتم‌های تیتانیم به ترکیب  $PbZrO_3$  گاف انرژی کاهش می‌یابد، که این بخاطر مشارکت اربیتالهای Ti-3d در تراز رسانش می‌باشد. اما کاهش تعداد تقارن‌های بلوری و نرم شدن ساختار بلوری باعث می‌شود، اندازه گاف انرژی افزایش پیدا کند. بنابراین از میان ترکیب‌های فوق گزینه  $x=0.50$  مناسب‌ترین انتخاب برای مواد سرامیک دی الکتریک و پیزو الکتریک می‌باشد (بزرگ بودن اندازه گاف انرژی و ثابت دی الکتریک).

- [1]- Jorge Iniguez, David Vanderbilt and L. Bellaiche Physical. Review. B 67, 224107 (2003)
- [2]- X. Chen,H. Yamane and K. Kaya," Synthesis and properties of highly c-axis oriented PbTiO<sub>3</sub> thin films prepaed by MOCVD method " J. phys. (1992) 1439-1444.
- [3]- S de Lazaro, E. Logo, J. R. Sambrano and A. Beltran, " structural and elecronic properties of PbTiO<sub>3</sub> slabs: a DFT periodic study" Surface Science 552, (2004) 149-159.
- [4] P.Blaha, D. Singh, P. I. Sorantin and K. Schwarz, Phys. Rev. B46, (1992)1321-1325.
- [5]- P.Blaha and K. Schwarz, Wien2k. Vienna University of Technology Austria (2002).
- [6]- K.Schwarz, P.Blaha and G.K.H. Madsen, Computer Physics Communicatins, (2002) 1-6.
- [7]- Pierre-Henri Jouneau Centre Interdépartemental de Microscopie Electronique, EPFL, Lausanne.
- [8]- B. Noheda\*, J. A. Gonzalo, L.E. Cross, R. Guo, S-E. Park, D.E. Cox and G. Shirane, Phys. Rev. B 61 8687 (2000).
- [9]- Zhigang Wu and Henry Krakauer,Phys. Rev. B 68, 014112-7 (2003).
- [10]- The rhombohedral unit cell can be expressed in terms of a monoclinic one by:  

$$am = 2ar \cos(\alpha/2), bm = 2ar \sin(\alpha/2), cm = ar, \beta = 180^\circ - \phi,$$
where  $\cos\phi = 1 - 2 \sin^2(\alpha/2) / \cos(\alpha/2)$  and  $ar$  and  $\alpha$  are the R3m cell parameters.
- Note that  $ar$  in ref. [11] refers to the doubled cell.

A photograph of a sunset or sunrise over a body of water. The sky is filled with intense orange, red, and yellow hues. A massive, billowing plume of dark smoke or fire rises from the horizon, illuminated from within by bright orange and yellow flames. The silhouette of distant hills or mountains is visible against the bright sky.

با تشکر از حضور شما